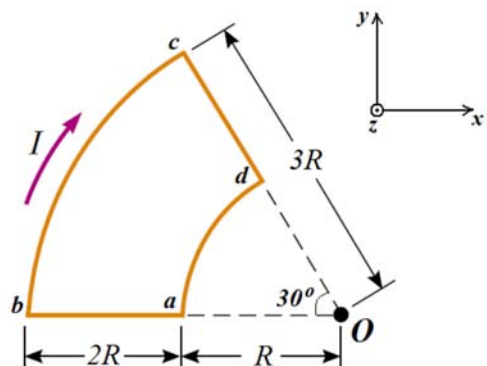


**2014/2 MÜHENDİSLİK BÖLÜMLERİ FİZİK 2**  
**UYGULAMA 6**  
**(MANYETİK ALAN KAYNAKLARI)**

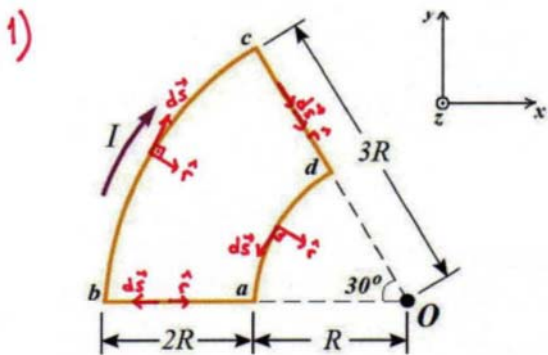
1.  $I$  akımı taşıyan kapalı bir ilmek Şekil 1'de görüldüğü gibi dört kısımdan oluşmaktadır.

a) Biot-Savart yasasını kullanarak  $O$  noktasındaki manyetik alanı biri vektörler cinsinden bulunuz.

b) Eğer kapalı ilmek,  $\vec{B} = B_0(4\hat{i} + 2\hat{k})$  ( $B_0$  pozitif bir sabit) ile verilen düzgün bir manyetik alan etkisinde kalırsa,  $ab$  ve  $cd$  bölgelerine etki eden manyetik kuvveti ve ilmeğe etki eden torku birim vektörler cinsinden bulunuz (Akım ilmeğinin oluşturduğu manyetik alanı ihmal ediniz.).



Şekil 1



$$d\vec{B} = \frac{\mu_0 I}{4\pi} \frac{d\vec{s} \times \hat{r}}{r^2}$$

$$\vec{B}_0 = \vec{B}_{ab} + \vec{B}_{bc} + \vec{B}_{cd} + \vec{B}_{da}$$

$$\vec{B}_{ab} = 0 \quad (d\vec{s} \parallel \hat{r}; \theta = 180^\circ)$$

$$\vec{B}_{cd} = 0 \quad (d\vec{s} \parallel \hat{r}; \theta = 0^\circ)$$

$$\vec{B}_0 = \vec{B}_{bc} + \vec{B}_{da}$$

$$d\vec{s} \times \hat{r} = ds(-\hat{k})$$

$$|d\vec{s} \times \hat{r}| = 3Rd\theta$$

$$\vec{B}_{bc} = \frac{\mu_0 I}{4\pi} \int_{0}^{\pi/6} \frac{3Rd\theta}{(3R)^2} (-\hat{k}) = \boxed{\frac{\mu_0 I}{72R} (-\hat{k})}$$

$$\vec{B}_{da} = \frac{\mu_0 I}{4\pi} \int \frac{d\vec{s} \times \hat{r}}{r^2}$$

$$d\vec{s} \times \hat{r} = ds(\hat{k})$$

$$|d\vec{s} \times \hat{r}| = R d\theta$$

$$\vec{B}_{da} = \frac{\mu_0 I}{4\pi} \int_{\pi/6}^{\pi/2} \frac{Rd\theta}{R^2} (\hat{k}) = \boxed{\frac{\mu_0 I}{24R} \hat{k}}$$

$$\vec{B}_0 = \frac{\mu_0 I}{72R} (-\hat{k}) + \frac{\mu_0 I}{24R} \hat{k}$$

$$\boxed{\vec{B}_0 = \frac{\mu_0 I}{36R} \hat{k}}$$

$$b) \vec{F}_B = I \vec{l} \times \vec{B}$$

ab iquin:  $\vec{l} = 2R(-\hat{i})$   
 $\vec{B} = B_0(4\hat{i} + 2\hat{k})$

$$\vec{F}_{ab} = I 2R(-\hat{i}) \times B_0(4\hat{i} + 2\hat{k})$$

$$\vec{F}_{ab} = 4IRB_0 \hat{j}$$

cd iquin:  $\vec{l} = 2R \cos 30^\circ \hat{i} - 2R \sin 30^\circ \hat{j}$   
 $\vec{B} = B_0(4\hat{i} + 2\hat{k})$

$$\vec{F}_{cd} = I 2R(\cos 30^\circ \hat{i} - \sin 30^\circ \hat{j}) \times B_0(4\hat{i} + 2\hat{k})$$

$$\vec{F}_{cd} = 2IRB_0(-\hat{i} - \sqrt{3}\hat{j} + 2\hat{k})$$

$$\vec{z} = I \vec{A} \times \vec{B}$$

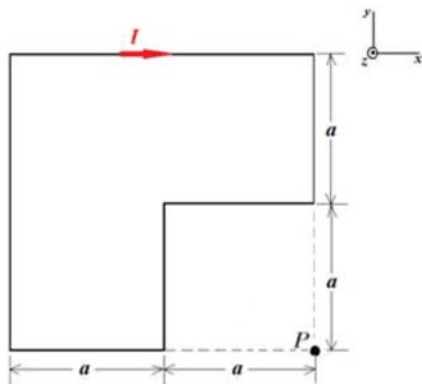
$$\vec{A} = \left[ \frac{\pi}{12}(3R)^2 - \frac{\pi}{12}R^2 \right] (-\hat{k})$$

$$\vec{B} = B_0(4\hat{i} + 2\hat{k})$$

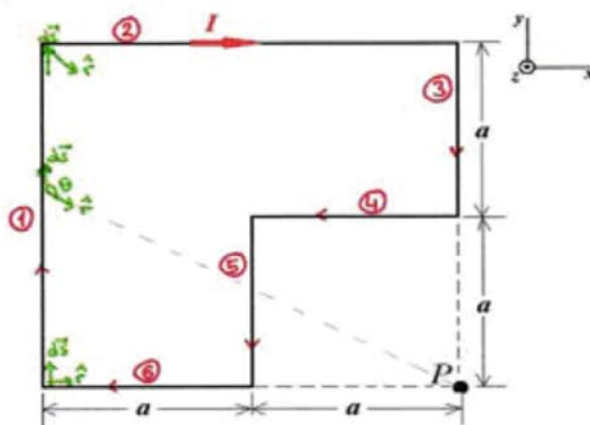
$$\vec{z} = I \frac{2\pi}{3} R^2 (-\hat{k}) \times B_0(4\hat{i} + 2\hat{k})$$

$$\vec{z} = \frac{8\pi}{3} IR^2 B_0 (-\hat{j})$$

2. Şekil 2'de görülen kapalı ilmeğin,  $P$  noktasında oluşturduğu manyetik alanı birim vektörler cinsinden bulunuz.



Şekil 2



$$d\vec{B} = \frac{\mu_0 I}{4\pi} \frac{d\vec{s} \times \hat{r}}{r^2}$$

$$\vec{B}_P = \vec{B}_1 + \vec{B}_2 + \vec{B}_3 + \vec{B}_4 + \vec{B}_5 + \vec{B}_6$$

$$\vec{B}_3 = 0 \quad (d\vec{s} \parallel \hat{r}; \theta = 0^\circ)$$

$$\vec{B}_6 = 0 \quad (d\vec{s} \parallel \hat{r}; \theta = 180^\circ)$$

$$\vec{B}_P = \vec{B}_1 + \vec{B}_2 + \vec{B}_4 + \vec{B}_5$$

$$d\vec{s} \times \hat{r} = dy \sin\theta (-\hat{k})$$

$$\vec{B}_1 = \frac{\mu_0 I}{4\pi} \int \frac{dy \sin\theta}{r^2} (-\hat{k})$$

$$\vec{B}_1 = \frac{\mu_0 I}{4\pi} \int \frac{2a \csc^2\theta d\theta}{4a^2 \csc^2\theta} \sin\theta (-\hat{k})$$

$$\vec{B}_1 = \frac{\mu_0 I}{4\pi 2a} \int \sin\theta d\theta (-\hat{k})$$

$$\vec{B}_1 = \frac{\mu_0 I}{4\pi 2a} (\cos\theta_i - \cos\theta_s) (-\hat{k})$$

$$\vec{B}_1 = \frac{\mu_0 I}{8\pi a} (\cos 90^\circ - \cos 135^\circ) (-\hat{k})$$

$$\vec{B}_1 = \frac{\mu_0 I}{8\pi a} \frac{\sqrt{2}}{2} (-\hat{k})$$

$$\vec{B}_4 = \frac{\mu_0 I}{4\pi a} (\cos\theta_i - \cos\theta_s) (\hat{k})$$

$$\vec{B}_4 = \frac{\mu_0 I}{4\pi a} (\cos 90^\circ - \cos 135^\circ) (\hat{k})$$

$$\vec{B}_4 = \frac{\mu_0 I}{4\pi a} \frac{\sqrt{2}}{2} (\hat{k})$$

$$y = -2a \cot\theta$$

$$dy = 2a \csc^2\theta d\theta$$

$$r = \frac{2a}{\sin\theta} = 2a \csc\theta$$

$$\vec{B}_2 = \frac{\mu_0 I}{8\pi a} (\cos 45^\circ - \cos 90^\circ) (\hat{i})$$

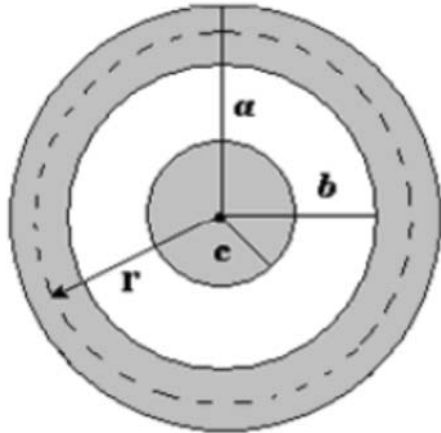
$$\vec{B}_2 = \frac{\mu_0 I}{8\pi a} \frac{\sqrt{2}}{2} (\hat{i})$$

$$\vec{B}_5 = \frac{\mu_0 I}{4\pi a} (\cos 45^\circ - \cos 90^\circ) (\hat{i})$$

$$\vec{B}_5 = \frac{\mu_0 I}{4\pi a} \frac{\sqrt{2}}{2} (\hat{i})$$

$$\boxed{\vec{B}_P = \frac{\mu_0 I}{8\pi a} \sqrt{2} (\hat{k})}$$

3. Şekil 3'te uzun koaksiyel bir kablo kesitten görülmektedir. Merkezde yarıçapı  $c = 0,5 \text{ cm}$ , yönü sayfa düzleminin içine doğru olan  $I = 100 \text{ A}$  akımı taşıyan bir tel ve etrafında eş merkezli iç yarıçapı  $b = 2 \text{ cm}$ , dış yarıçapı  $a = 4 \text{ cm}$  olan yönü sayfa düzleminden dışarı doğru  $I$  akımı taşıyan silindirik tüpten oluşmaktadır.
- $(r < c) r = 0,3 \text{ cm}$ ,
  - $(c < r < b) r = 1 \text{ cm}$ ,
  - $(b < r < a) r = 3 \text{ cm}$ ,
  - $(r > a) r = 4 \text{ cm}$ 'de manyetik alanları bulunuz.



Şekil 3

a)  $\oint_C \vec{B} \cdot d\vec{s} = \mu_0 I_{\text{kap}} \text{ Amper Yarısı.}$

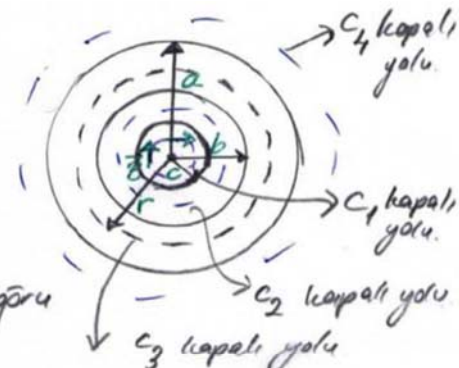
$r < c \quad r = 0,3 \text{ cm}, \quad C_1 \text{ kapalı yolu üzerinden,}$   
 $I_{\text{kap}} = IA, \quad A_1 = \pi r^2$

$$I_{\text{kap}} = \frac{I}{\pi c^2} \cdot \pi r^2 = I \frac{r^2}{c^2} \quad \otimes \text{ içeri doğru}$$

$\oint_{C_1} \vec{B}_1 \cdot d\vec{s} = \mu_0 I_{\text{kap}} \quad B_1(2\pi r) = \mu_0 I \frac{r^2}{c^2}$

$$B_1 = \frac{\mu_0 I r}{2\pi c^2} \quad r = 0,3 \text{ cm'de}$$

$$B_1 = \frac{4\pi \cdot 10^{-7} \cdot 100 \cdot 3 \cdot 10^{-3}}{2\pi \cdot 5^2 \cdot 10^{-3} \cdot 10^{-3}} = 24 \cdot 10^{-7} \text{ T}$$



b)  $c < r < b, r = 1 \text{ cm} \text{ için, } I_{\text{kap}} = I \quad (\times)$

$$\oint_{C_2} \vec{B}_2 \cdot d\vec{s} = \mu_0 I_{\text{kap}}. \quad B_2 = \frac{\mu_0 I}{2\pi r} \quad \left. B_2 \right|_{r=1 \text{ cm}} = \frac{4\pi \cdot 10^{-7} \cdot 100}{2\pi \cdot 1 \cdot 10^{-2}} = 2 \cdot 10^{-3} \text{ T}$$

c)  $b < r < a, r = 3 \text{ cm} \text{ için, } I_{\text{kap}} = I - \frac{I}{\pi(a^2 - b^2)} \cdot \pi(r^2 - b^2)$

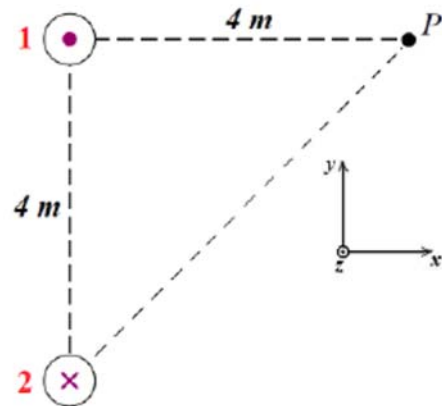
$$\oint_{C_3} \vec{B}_3 \cdot d\vec{s} = \mu_0 I_{\text{kap}} \quad (2\pi r) \cdot B_3 = I \frac{(a^2 - b^2) - r^2}{a^2 - b^2} \mu_0 \quad B_3 = \frac{\mu_0 I (a^2 - r^2)}{2\pi r (a^2 - b^2)}$$

$$\left. B_3 \right|_{r=3 \text{ cm}} = \frac{4\pi \cdot 10^{-7} \cdot 100 (4^2 - 3^2) \cdot 10^{-4}}{2\pi \cdot 3 \cdot 10^{-2} (4^2 - 2^2) \cdot 10^{-4}} \cong 2,78 \cdot 10^{-4} \text{ T}$$

d)  $r > a \text{ için; } \oint_{C_4} \vec{B}_4 \cdot d\vec{s} = I_{\text{kap}}. \quad I_{\text{kap}} = I - I = 0. \quad B_4 = 0 \text{ dur.}$

$$r = 4 \text{ cm} = a \Rightarrow B = 0 \text{ olur.}$$

4. Sonsuz uzun iletken tel, Şekil 4'de görüldüğü gibi paralel olarak birbirlerinden  $4\text{ m}$  uzaklıkta bulunmaktadır. 1 numaralı telden, sayfa düzleminde dışarı doğru  $8\text{ A}'\text{l}\text{i}\text{k}$ ; 2 numaralı telden sayfa düzleminin içine doğru  $12\text{ A}'\text{l}\text{i}\text{k}$  akım geçmektedir. Bu iki iletken telin  $P$  noktasında oluşturdukları manyetik alanı birim vektörler cinsinden bulunuz. ( $\mu_0 = 4\pi \cdot 10^{-7} \text{ Wb / A.m}$ )



Şekil 4

Ampère Yasası

$$\oint \vec{B} \cdot d\vec{s} = \mu_0 I$$

1.tel:

$$B_1 \cdot (2\pi a) = \mu_0 I_1$$

$$B_1 = \frac{\mu_0 I_1}{2\pi a} = \frac{4\pi \cdot 10^{-7} \cdot 8}{2\pi \cdot 4} = 4 \cdot 10^{-7} (\text{T})$$

$$\vec{B}_1 = 4 \cdot 10^{-7} \hat{j} (\text{T})$$

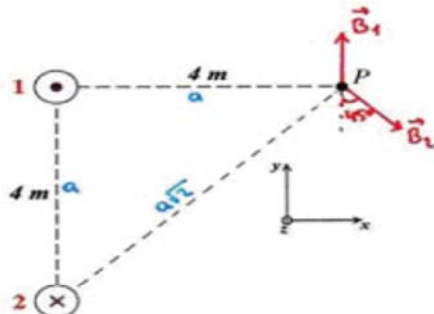
2.tel:

$$B_2 \cdot (2\pi\sqrt{2}a) = \mu_0 I_2$$

$$B_2 = \frac{\mu_0 I_2}{2\sqrt{2}\pi a} = \frac{4\pi \cdot 10^{-7} \cdot 12}{2\sqrt{2}\pi \cdot 4} = 4,2 \cdot 10^{-7} (\text{T})$$

$$\vec{B}_2 = B_2 \sin 45^\circ \hat{i} - B_2 \cos 45^\circ \hat{j}$$

$$\vec{B}_2 = 3 \cdot 10^{-7} (\hat{i} - \hat{j}) (\text{T})$$



$$\vec{B}_P = \vec{B}_1 + \vec{B}_2$$

$$\vec{B}_P = 4 \cdot 10^{-7} \hat{j} + 3 \cdot 10^{-7} (\hat{i} - \hat{j})$$

$$\boxed{\vec{B}_P = 10^{-7} (3\hat{i} + \hat{j}) (\text{T})}$$

5.  $r$  telin ekseninden uzaklığı göstermek üzere,  $r \leq R$  için akım yoğunluğunun  $J(r) = J_0(1 - r^2/R^2)$  ve  $r > R$  için  $J(r) = 0$  olduğu,  $R$  yarıçaplı uzun bir silindirik tel düşününüz.

- a) Telin içindeki ( $r \leq R$ ) ve dışındaki ( $r > R$ ) manyetik alanı bulunuz.  
 b) Manyetik alanın maksimum olduğu konumu ve maksimum değerini bulunuz.

$$a) J(r) = J_0(1 - \frac{r^2}{R^2}) \quad r \leq R \text{ için}$$

$$r < R, \oint_C \vec{B} \cdot d\vec{s} = \mu_0 I_{\text{kap}}$$

$$I_{\text{kap}} = \int_0^r J dA = \int_0^r J_0(1 - \frac{r^2}{R^2}) \cdot 2\pi r dr$$

$$I_{\text{kap}} = 2\pi J_0 \int_0^r r dr - \frac{2\pi J_0}{R^2} \int_0^r r^3 dr$$

$$I_{\text{kap}} = \pi J_0 r^2 - \frac{\pi J_0 r^4}{2R^2} = \pi J_0 \left(r^2 - \frac{r^4}{2R^2}\right)$$

$$B(2\pi r) = \mu_0 \pi J_0 \left(r^2 - \frac{r^4}{2R^2}\right) \quad B = \mu_0 J_0 \left(\frac{r}{2} - \frac{r^3}{4R^2}\right)$$

$$r = R \text{ de}, \quad B = \frac{\mu_0 J_0 R}{4} \text{ olur.}$$

$$r > R \text{ de } J(r) = 0. \quad I_{\text{kap}} = \int_0^R J dA + \int_R^r J dA = 2\pi J_0 \int_0^R r dr - \frac{2\pi J_0}{R^2} \int_R^r r^3 dr$$

$$I_{\text{kap}} = \pi J_0 \left(R^2 - \frac{R^2}{2}\right) = \pi J_0 \frac{R^2}{2}$$

$$\oint_{C'} \vec{B} \cdot d\vec{s} = \mu_0 I_{\text{kap}} \quad B(2\pi r) = \pi J_0 \frac{R^2}{2} \cdot \mu_0$$

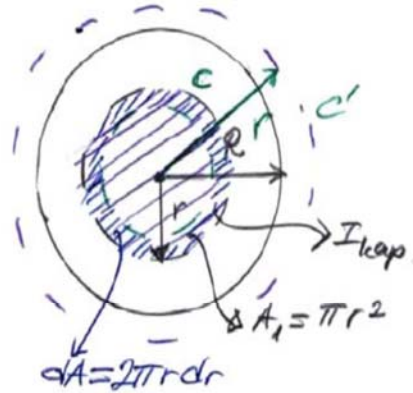
$$B = \frac{\mu_0 J_0 R^2}{4r}, \quad r > R$$

b)  $r \leq R$  de  $B$  nin maksimum olması için,

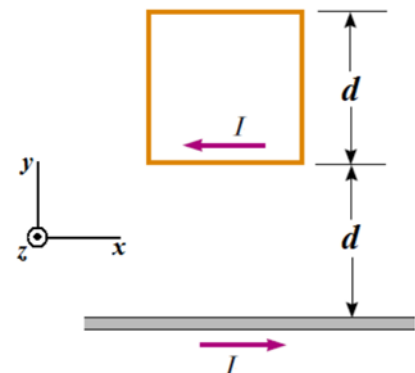
$$\frac{dB}{dr} = 0 \text{ olmalı, } \frac{dB}{dr} = \frac{\mu_0 J_0}{2} - \frac{3}{4} \frac{r^2}{R^2} \mu_0 J_0 = 0 \quad 2R^2 = 3r^2 \quad r^2 = \frac{2}{3} R^2$$

$$r = \sqrt{\frac{2}{3}} R \text{ olur.}$$

$$B_{\text{maks}} = \mu_0 J_0 R \left[ \frac{1}{2} \left(\frac{2}{3}\right)^{\frac{1}{2}} - \frac{1}{4} \left(\frac{2}{3}\right)^{\frac{3}{2}} \right] = 0,272 \mu_0 J_0 R \text{ bulunur.}$$



6. Şekil 5'te görülen  $I$  akımı taşıyan sonsuz uzun iletken telin  $I$  akımı taşıyan ve kenar uzunluğu  $d$  olan kare şeklindeki kapalı ilmeğe etki ettirdiği toplam manyetik kuvveti birim vektörler cinsinden bulunuz.



Şekil 5

$$\oint \vec{B} \cdot d\vec{s} = \mu_0 I$$

$$\vec{F}_B = I \vec{l} \times \vec{B}$$

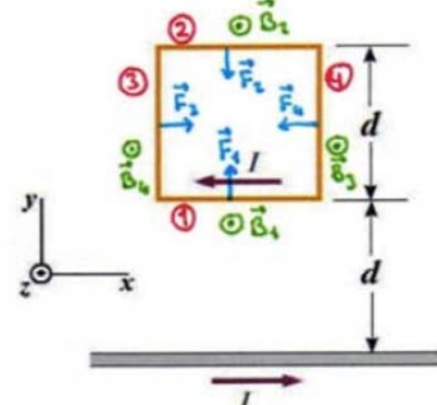
1.tel:

$$B_1 \cdot (2\pi d) = \mu_0 I$$

$$\vec{B}_1 = \frac{\mu_0 I}{2\pi d} \hat{k}$$

$$\vec{F}_1 = I d (\hat{i}) \times \frac{\mu_0 I}{2\pi d} \hat{k}$$

$$\vec{F}_1 = \frac{\mu_0 I^2}{2\pi} \hat{j}$$



2.tel:

$$B_2 \cdot (2\pi 2d) = \mu_0 I$$

$$\vec{B}_2 = \frac{\mu_0 I}{4\pi d} \hat{k}$$

$$\vec{F}_2 = I d \hat{i} \times \frac{\mu_0 I}{4\pi d} \hat{k}$$

$$\vec{F}_2 = \frac{\mu_0 I^2}{4\pi} (-\hat{j})$$

3.tel:

$$B_3 \cdot (2\pi y) = \mu_0 I$$

$$\vec{B}_3 = \frac{\mu_0 I}{2\pi y} \hat{k}$$

$$d\vec{F}_3 = I dy \hat{j} \times \vec{B}_3$$

$$\vec{F}_3 = \frac{\mu_0 I^2}{2\pi} \int_d^{2d} \frac{dy}{y} \hat{i}$$

$$\vec{F}_3 = \frac{\mu_0 I^2}{2\pi} [\ln y]_d^{2d} \hat{i}$$

$$\vec{F}_3 = \frac{\mu_0 I^2}{2\pi} \ln 2 \hat{i}$$

4.tel:

$$\vec{F}_4 = -\vec{F}_3$$

$$\vec{F}_4 = \frac{\mu_0 I^2}{2\pi} \ln 2 (-\hat{i})$$

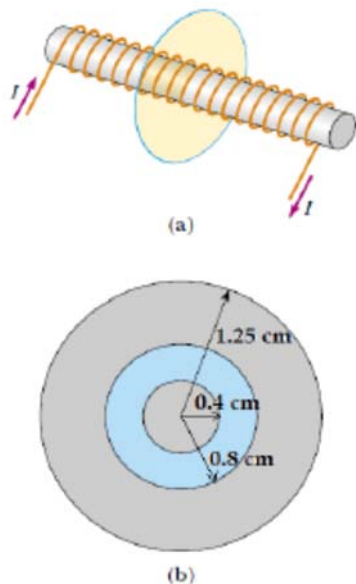
$$\sum \vec{F} = \vec{F}_1 + \vec{F}_2 + \vec{F}_3 + \vec{F}_4$$

$$\sum \vec{F} = \frac{\mu_0 I^2}{4\pi} \hat{j}$$

7. Çapı  $2,5\text{ cm}$  ve uzunluğu  $30\text{ cm}$  olan bir solenoidin sarım sayısı  $300$  ve üzerinden geçen akım  $12\text{ A}$ 'dır.

a) Şekil 6.a'da görüldüğü gibi, merkezi, solenoidin ekseni üzerinde olan ve bu eksene dik olarak yerleştirilen  $5\text{ cm}$  yarıçaplı bir diskin yüzeyinden geçen manyetik akımı hesaplayınız.

b) Şekil 6.b aynı solenoidin büyütülmüş olarak önden görünüşünü göstermektedir. Solenoidin içinde, iç yarıçapı  $0,4\text{ cm}$  ve dış yarıçapı  $0,8\text{ cm}$  olan bölgeden geçen manyetik akımı hesaplayınız.



Şekil 6

$$N = 300 \text{ sarım}$$

$$l = 30 \text{ cm} = 0,3 \text{ m}$$

$$R = 1,25 \text{ cm} = 1,25 \cdot 10^{-2} \text{ m}$$

$$I = 12 \text{ A}$$

$$\text{a)} \quad \Phi_s = \vec{B} \cdot \vec{A} = B \cdot A \quad B = \mu_0 \frac{N}{l} I$$

$$\Phi_s = \left( \mu_0 \frac{N}{l} I \right) (\pi R^2)$$

$$\Phi_s = \left( 4\pi \cdot 10^{-7} \cdot \frac{300}{0,3} \cdot 12 \right) \cdot [\pi (125 \cdot 10^{-2})^2]$$

$$\boxed{\Phi_s \approx 7,4 \cdot 10^{-6} \text{ (Wb)}}$$

$$\text{b)} \quad \Phi_b = \vec{B} \cdot \vec{A} = B \cdot A$$

$$r_1 = 0,4 \text{ cm}$$

$$r_2 = 0,8 \text{ cm}$$

$$\Phi_b = \left( \mu_0 \frac{N}{l} I \right) [\pi (r_2^2 - r_1^2)]$$

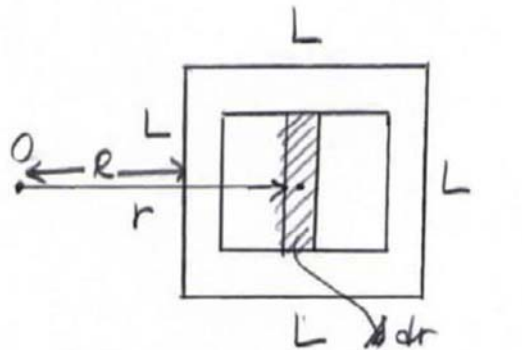
$$\Phi_b = \left( 4\pi \cdot 10^{-7} \cdot \frac{300}{0,3} \cdot 12 \right) [\pi (8^2 - 4^2) \cdot 10^{-6}]$$

$$\boxed{\Phi_b = 2,27 \cdot 10^{-6} \text{ (Wb)}}$$

8. Toroidal bir selonoidin kesiti, kenar uzunluğu  $L$  olan bir karedir ve iç yarıçapı  $R$  olan bir silindir şeklindedir. Sarım sayısı  $N$  olan torustan  $I$  şiddetinde bir akım geçmektedir. Kare kesitten geçen manyetik akı ifadesini bulunuz.

Toroidal selonoidin merkezinden  
 $r$  kadar uzakta meydana getirilen  
 manyetik alanın büyüklüğü

$$B = \frac{\mu_0 NI}{2\pi r}$$



Kare kesitte geçen manyetik akı

$$\Phi_B = \int \vec{B} \cdot d\vec{A} = \frac{\mu_0 NI}{2\pi} \int_R^{R+L} L \frac{dr}{r} = \frac{\mu_0 NLI}{2\pi} \ln r \Big|_R^{R+L}$$

$$\Phi_B = \frac{\mu_0 NIL}{2\pi} \ln \left( \frac{R+L}{R} \right)$$

$$dA = dr L$$

$$\vec{B} \parallel d\vec{A}$$

9. Plaka alanı  $300 \text{ cm}^2$ , kapasitansı  $10^{-7} \text{ F}$  olan kondansatör üzerine  $t = 0$ 'da  $5 \mu\text{A}'\text{l}\text{i}\text{k}$  bir akım boşalıyor.

a)  $t = 0$  anında plakalar arası voltaj hangi hızla değişir.

b) a şıkkında elde edilen sonucu kullanarak,  $d\phi_E/dt$  ve  $t = 0$  anında deplasman akım şiddetini hesap ediniz.

$$\text{a)} \quad V = \frac{q}{C} \Rightarrow dV = \frac{1}{C} dq$$

$$\frac{dV}{dt} = \frac{1}{C} \frac{dq}{dt} = \frac{I}{C} = 5 \cdot 10^{-6} (\text{A}) / 2 \cdot 10^{-7} (\text{F}) \\ = 25 (\text{V/s})$$

$$\text{b)} \quad \phi_E = E \cdot A = q/\epsilon_0 = CV/\epsilon_0$$

$$\phi_E = \oint \vec{E} \cdot d\vec{A} = \frac{q_{iq}}{\epsilon_0} = \frac{\sum q}{\epsilon_0}$$

akının değişim hızı

$$\phi = \frac{CV}{\epsilon_0} \rightarrow \frac{d\phi}{dt} = \frac{C}{\epsilon_0} \frac{dV}{dt}$$

$$\boxed{\frac{d\phi}{dt} = \frac{C}{\epsilon_0} \frac{dV}{dt} = 5,6 \cdot 10^{-5} (\text{V.s/s})}$$

deplasman akımı = yerdeğiştirme akımı

$$\underline{I_d = \epsilon_0 \cdot \frac{d\phi_E}{dt} = 8,85 \cdot 10^{-12} \cdot 5,6 \cdot 10^{-5} = 5 \cdot 10^{-6} (\text{A})}$$